

УДК 669.86:536.21

Устойчивость стационарной тепловой конвекции в наклоняемой прямоугольной полости в маломодовом приближении*

Р.В. Сагитов, А.Н. Шарифулин

Пермский государственный технический университет

Модельная система обыкновенных дифференциальных уравнений [1, 2], описывающая поведение неравномерно нагретой жидкости в наклоняемой полости, используется для исследований устойчивости стационарных режимов тепловой конвекции при произвольных (не малых) наклонах прямоугольной полости. Получена бифуркационная кривая, разделяющая область параметров (число Рэлея — наклон полости) на две — внутреннюю и внешнюю. Во внешней области система имеет одно устойчивое стационарное решение, а во внутренней — три стационарных решения. Одно из них всегда неустойчиво монотонным образом, а два других могут быть как устойчивыми, так и неустойчивыми. Построены нейтральные кривые, определяющие границы возникновения колебательной и монотонной неустойчивостей.

ВВЕДЕНИЕ

Экспериментальное и теоретическое изучение бифуркаций стационарных режимов тепловой конвекции в замкнутой полости актуально для предсказания смен режимов как в технологических процессах, так и для предсказания природных катастроф, связанных со сменой режимов атмосферных или океанических течений.

Со времен работы Рэлея по конвекции в горизонтальном слое сложился подход, заключающийся в рассмотрении устойчивости тепловой конвекции в полостях простой геометрической формы: горизонтальных и вертикальных плоских слоях и бесконечных цилиндрах для условий подогрева, при возможных состояниях механического равновесия [6]. Нарушение условий механического равновесия путем наклона полости с жидкостью приводит к качественному изменению бифуркационной картины.

Теоретическое изучение влияния наклона полости на бифуркации стационарных режимов начато в работах [3, 2], в них рассматривалось влияние отклонения от равновесного направления подогрева на бифуркации одноячеистого течения в задаче о конвекции в бесконечном горизонтальном цилиндре круглого сечения. Бифуркации в наклоняемом бесконечном горизонтальном цилиндре квадратного сечения рассматривались путем численного моделирования в [5].

В настоящей теоретической работе, посвященной созданию простой модели, схватывающей существенные черты сложного бифуркационного поведения жидкости в горизонтальном наклоняемом параллелепипеде, течение жидкости полагали

* Работа выполнена при финансовой поддержке РФФИ (грант № 07-01-96070).

двумерным, а трением жидкости о стенки полости пренебрегли. Для случая конвекции в горизонтальном слое, подобная модель была предложена в работе [3]. Отметим, что, хотя и уравнения рассматриваемой ниже модели в предельном случае отсутствия наклона совпадают с моделью Лоренца, при этом они описывают качественно иную физическую ситуацию: одноячеистую конвекцию в замкнутом параллелепипеде, а не многоячеистую в бесконечном горизонтальном слое.

В маломодовом приближении получены аналитические выражения для стационарных режимов тепловой конвекции в замкнутой полости для произвольных направлений подогрева и исследована их устойчивость по отношению к малым возмущениям.

ПОСТАНОВКА ЗАДАЧИ

Пусть вязкая несжимаемая жидкость заполняет полость, имеющую форму горизонтального прямоугольного параллелепипеда. Введем декартову систему координат (x, y, z) так, что ось y будет направлена горизонтально и параллельно оси наклона, а две другие лежат на перпендикулярных гранях. Поперечный разрез параллелепипеда представлен на рис. 1. Границы, параллельные оси z , теплоизолированы, а перпендикулярные — идеально теплопроводны и поддерживаются при постоянных и различающихся на величину Θ температурах. Будем пренебрегать трением жидкости о границы полости. Движение жидкости будем считать двумерным, осуществляющимся перпендикулярно оси y , зависимостью скорости и температуры от координаты y пренебрежем.

Для описания такого движения жидкости будем использовать безразмерные уравнения тепловой конвекции в приближении Буссинеска в форме Гельмгольца [2]:

$$\frac{\partial \varphi}{\partial t} = \frac{\partial \psi}{\partial z} \frac{\partial \varphi}{\partial x} - \frac{\partial \psi}{\partial x} \frac{\partial \varphi}{\partial z} + \Delta \varphi + G \left(\frac{\partial T}{\partial z} \sin \alpha + \frac{\partial T}{\partial x} \cos \alpha \right), \quad (1)$$

$$\Delta \psi + \varphi = 0, \quad (2)$$

$$\frac{\partial T}{\partial t} = \frac{\partial \psi}{\partial z} \frac{\partial T}{\partial x} - \frac{\partial \psi}{\partial x} \frac{\partial T}{\partial z} + \frac{1}{Pr} \Delta T, \quad (3)$$

$$\vec{v} = \text{rot } \vec{\psi} = \left(-\frac{\partial \psi}{\partial z}, 0, \frac{\partial \psi}{\partial x} \right), \quad (4)$$

где введены, соответственно, для расстояния, функции тока, скорости, времени и температуры следующие единицы измерения: H , v , v/H , H^2/v и Θ .

На всех границах задано условие непротекания

$$\psi = 0 \text{ (при } x = 0, B \text{ и } z = 0, 1). \quad (5)$$

На них будут выполняться и условия отсутствия напряжений

$$\varphi = 0 \text{ (при } x = 0, B \text{ или } z = 0, 1). \quad (6)$$

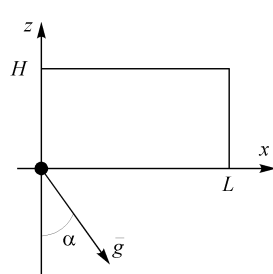


Рис. 1. Геометрия задачи.

Границное условие для температуры имеет вид

$$T = 1, \quad T = 0 \text{ при } z = 0, \quad z = 1. \quad (7)$$

На других стенах задано условие теплоизоляции

$$\partial T / \partial x = 0 \text{ при } x = 0 \text{ и } x = B. \quad (8)$$

В систему уравнений (1)–(8) входят четыре безразмерных параметра:

- число Грасгофа $G = \beta g \Theta H^3 / v^2$,
- число Прандтля $\text{Pr} = v/\chi$,
- угол наклона полости α ,
- геометрический параметр $B = L/H$.

В отсутствии движения жидкости в полости устанавливается равновесное распределение температуры

$$T_0 = 1 - z. \quad (9)$$

Введем в рассмотрение переменную ϑ , учитывающую отклонение температуры в полости от равновесного распределения:

$$\vartheta = T - T_0. \quad (10)$$

Тогда

$$T = T_0 + \vartheta. \quad (11)$$

Система уравнений (1)–(4) перепишется в виде:

$$\frac{\partial \varphi}{\partial t} = \frac{\partial \psi}{\partial z} \frac{\partial \varphi}{\partial x} - \frac{\partial \psi}{\partial x} \frac{\partial \varphi}{\partial z} + \Delta \varphi + G \left(\frac{\partial \vartheta}{\partial z} \sin \alpha - \frac{\partial \vartheta}{\partial x} \cos \alpha - \sin \alpha \right), \quad (12)$$

$$\Delta \psi + \psi = 0, \quad (13)$$

$$\frac{\partial \vartheta}{\partial t} = \frac{\partial \psi}{\partial z} \frac{\partial \vartheta}{\partial x} - \frac{\partial \psi}{\partial x} \frac{\partial \vartheta}{\partial z} + \frac{\partial \psi}{\partial x} + \frac{1}{\text{Pr}} \Delta \vartheta, \quad (14)$$

$$\vec{v} = \text{rot} \vec{\psi} = \left(-\frac{\partial \psi}{\partial z}, 0, \frac{\partial \psi}{\partial x} \right). \quad (15)$$

Границное условие для отклонения температуры от равновесного значения имеет вид:

$$\vartheta = 0 \text{ при } z = 0, \quad z = 1, \quad (16)$$

$$\partial \vartheta / \partial x = 0 \text{ при } x = 0 \text{ и } x = B. \quad (17)$$

Уравнения (12)–(14) с граничными условиями (5), (6), (16) и (17) образуют замкнутую краевую задачу для определения функции тока ψ , завихренности φ и отклонения температуры ϑ от равновесного распределения T_0 .

ОБОБЩЕНИЕ МОДЕЛИ ЛОРЕНЦА

Для получения амплитудных уравнений представим, следуя Лоренцу, функцию тока и температуру в виде:

$$\psi = \psi(t) \sin \frac{\pi x}{B} \sin \pi z, \quad (18)$$

$$\vartheta = \theta_1(t) \cos \frac{\pi x}{B} \sin \pi z - \theta_2(t) \sin 2\pi z. \quad (19)$$

Амплитудное уравнение для ψ , в рамках метода Галеркина, можно получить различными способами. Процедура его получения сводится к проецированию уравнения (12) на какое-либо направление в пространстве независимых базисных функций. Выберем направление для проекции в виде функции, зависящей от двух параметров:

$$f(x, y, X, Y) = \frac{60\pi^2}{B} \left(\sin \frac{\pi x}{B} \sin \pi z + \frac{X}{\pi} \left(\sin \frac{\pi x}{B} - \sin \pi z \right) + \frac{Y}{5B^2} \left(5x^2 \left(1 - \frac{x}{B} \right)^2 - B^2 z(1-z) \right) \right). \quad (20)$$

Получаем систему уравнений, предложенную без вывода впервые в [2]:

$$\begin{cases} \dot{\psi} = -\psi + Ra(\sin \alpha + \theta_1 \cos \alpha - \theta_2 \sin \alpha), \\ \text{Pr} \dot{\theta}_1 = \psi - \theta_1 - \psi \theta_2, \\ \text{Pr} \dot{\theta}_2 = -b\theta_2 + \psi \theta_1, \end{cases} \quad (21)$$

где $Ra = GP \frac{B^4}{\pi^4 (1+B^2)^3}$, $b = \frac{4B^2}{1+B^2}$.

СТАЦИОНАРНЫЕ СОСТОЯНИЯ

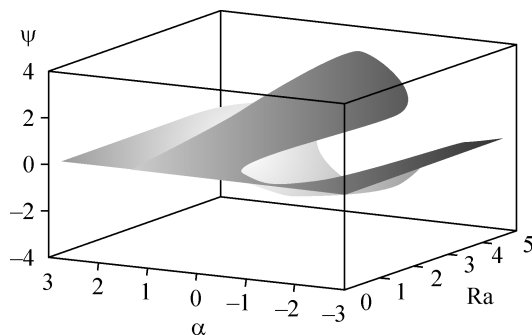
Стационарные состояния — это состояния, не меняющиеся со временем. Чтобы найти их, нужно производные динамических переменных приравнять к нулю. Система (21) имеет стационарные решения, функция тока которых определяется уравнением

$$\Psi^3 + b(1 - Ra \cos \alpha)\Psi - Ra b \sin \alpha = 0. \quad (22)$$

Температурные компоненты этих решений связаны с функцией тока соотношениями

$$\theta_1 = b\Psi / (b + \Psi^2), \quad \theta_2 = \Psi^2 / (b + \Psi^2). \quad (23)$$

Применим для анализа этих стационарных решений теорию особенностей дифференцируемых отображений [2, 3]. Поверхность в пространстве (Ra, α, ψ) , которая описывается уравнением, для $\text{Pr} = 10$, $b = 8/3$ показана на рис. 2.



Проекция поверхности стационарных состояний на плоскость параметров (Ra, α) представлена на рис. 3. При проектировании возникают особенности типа складки и сборки Уитни. На плоскости параметров выделяется

Рис. 2. Поверхность стационарных решений (Ra, α, ψ) .

Рис. 3. Бифуркационная кривая на плоскости параметров (Ra , α).

кривая с точкой возврата при $Ra = 1$ и $\alpha = 0$. Эта кривая, помеченная цифрой II, делит область параметров на две части — I и III.

Для значений Ra , α , расположенных в части I, система (21) имеет одно стационарное решение. В области III система для любых заданных параметров Ra , α имеет три стационарных решения. На кривой II система имеет два стационарных решения. При подходе к кривой II из области III два решения (из трех) сливаются. В этом месте отображение имеет особенность — складку Уитни. При подходе к острому краю кривой II сливаются все три решения. В этом месте отображение имеет особенность типа сборку Уитни.

Таким образом, при переходе из области III в область I два решения системы сливаются и исчезают, т. е. на кривой II происходят бифуркации стационарных решений системы (21).

Вблизи точки $Ra = 1$ и $\alpha = 0$, как показано в [2], бифуркационная кривая представляет собой полукубическую параболу.

Приведем аналитические выражения для Ψ , полученные в настоящей работе. В области I

$$\Psi_0 = \frac{1}{6} \sqrt[3]{d} - \frac{2A}{\sqrt[3]{d}}, \quad (24)$$

где $A = b(1 - Ra \cos \alpha)$, $d = 108RaB \sin \alpha + 12\sqrt{12A^3 + 8(RaB \sin \alpha)^2}$. В области III

$$\Psi_0 = \frac{1}{3} \sqrt{12|A|} \cos \left(\frac{1}{3} (\beta + 2\pi(n-1)) \right), \quad (25)$$

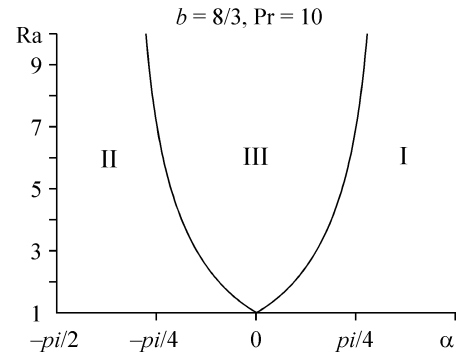
где $\beta = \arccos \left(\frac{108RaB \sin \alpha}{\sqrt{(12|A|)^3}} \right)$, а n принимает значения 1, 0, -1 для верхнего, среднего, нижнего листа соответственно.

При $\alpha = 0$ из (24) получим $\Psi_0 = 0$, а (25) приобретает вид $\Psi_0 = n\sqrt{b(1-Ra)}$ [1, 2].

Уравнения для инкрементов и частот малых возмущений

Пусть $(\Psi_0, \theta_{10}, \theta_{20})$ — стационарное состояние, которое будем исследовать на устойчивость. Представим решение системы (21) в виде:

$$\begin{aligned} \Psi &= \Psi_0 + \tilde{\Psi}, \\ \theta_1 &= \theta_{10} + \tilde{\theta}_1, \\ \theta_2 &= \theta_{20} + \tilde{\theta}_2, \end{aligned} \quad (26)$$



где добавки, отмеченные тильдой, считаются малыми. Пренебрегая квадратами и произведениями малых добавок, получаем:

$$\begin{aligned}\dot{\tilde{\Psi}} &= -\tilde{\Psi} + Ra(\tilde{\theta}_1 \cos \alpha - \tilde{\theta}_2 \sin \alpha), \\ \text{Pr} \dot{\tilde{\theta}}_1 &= -\tilde{\theta}_1 + \tilde{\Psi} - \theta_{20} \tilde{\Psi} - \Psi_0 \tilde{\theta}_2, \\ \text{Pr} \dot{\tilde{\theta}}_2 &= -b \tilde{\theta}_2 + \theta_{10} \tilde{\Psi} + \Psi_0 \tilde{\theta}_1.\end{aligned}\quad (27)$$

Как принято в линейных задачах на устойчивость, предполагаем экспоненциальную зависимость возмущений от времени, $\Psi, \tilde{\theta}_1, \tilde{\theta}_2 \sim \exp(\lambda t)$. В результате получаем задачу на собственные числа матрицы 3×3 :

$$\begin{aligned}\lambda \dot{\tilde{\Psi}} &= -\tilde{\Psi} + Ra(\tilde{\theta}_1 \cos \alpha - \tilde{\theta}_2 \sin \alpha), \\ \lambda \dot{\tilde{\theta}}_1 &= (-\tilde{\theta}_1 + \tilde{\Psi} - \theta_{20} \tilde{\Psi} - \Psi_0 \tilde{\theta}_2) / \text{Pr}, \\ \lambda \dot{\tilde{\theta}}_2 &= (-b \tilde{\theta}_2 + \theta_{10} \tilde{\Psi} + \Psi_0 \tilde{\theta}_1) / \text{Pr},\end{aligned}\quad (28)$$

или

$$\lambda \begin{pmatrix} \Psi \\ \theta_1 \\ \theta_2 \end{pmatrix} = \begin{pmatrix} -1 & Ra \cos \alpha & -Ra \sin \alpha \\ (1-\theta_{20})/\text{Pr} & -1/\text{Pr} & -\Psi_0/\text{Pr} \\ \theta_{10}/\text{Pr} & \Psi_0/\text{Pr} & -b/\text{Pr} \end{pmatrix} \begin{pmatrix} \Psi \\ \theta_1 \\ \theta_2 \end{pmatrix}. \quad (29)$$

Условием существования нетривиального решения является равенство нулю детерминанта

$$\begin{vmatrix} \lambda + 1 & -Ra \cos \alpha & Ra \sin \alpha \\ (\theta_{20} - 1)/\text{Pr} & \lambda + 1/\text{Pr} & \Psi_0/\text{Pr} \\ -\theta_{10}/\text{Pr} & -\Psi_0/\text{Pr} & \lambda + b/\text{Pr} \end{vmatrix} = 0 \quad (30)$$

или

$$\begin{aligned}\lambda^3 + ((b+1)/\text{Pr} + 1)\lambda^2 + ((\Psi_0^2 + b)/\text{Pr}^2 + ((\theta_{10} \sin \alpha + (-1 + \theta_{20}) \cos \alpha) \text{Ra} + b + 1)/\text{Pr})\lambda + \\ + (((-\theta_{20} \Psi_0^2 + \Psi_0^2 + \theta_{10}) \sin \alpha + (\theta_{10} \Psi_0 - b + \theta_{20} b) \cos \alpha) \text{Ra} + \Psi_0^2 + b)/\text{Pr}^2 = 0.\end{aligned}\quad (31)$$

Используя уравнение (22) и соотношения (23), перепишем (31):

$$\begin{aligned}\lambda^3 + \left(\frac{(1+b)}{\text{Pr}} + 1 \right) \lambda^2 + \left(\frac{(b+\Psi_0^2)}{\text{Pr}^2} + \frac{-\frac{b \text{Ra}(\Psi_0^2+1) \cos \alpha}{\text{Pr}} + \Psi_0^2 + 1 + b}{\text{Pr}} \right) \lambda + \\ + \frac{3\Psi_0^2 - b \text{Ra} \cos \alpha + b}{\text{Pr}^2} = 0.\end{aligned}\quad (32)$$

Представим λ в виде

$$\lambda = \lambda_r + i\omega, \quad (33)$$

где λ_r и ω — действительные числа и имеют смысл инкремента и частоты возмущений соответственно. Уравнение (32), после подстановки в него (33), разобьем на действительную и мнимую части и, приравняв их по отдельности к нулю, получим:

$$\begin{aligned} \lambda_r^3 + \left(\frac{(1+b)}{\Pr} + 1 \right) \lambda_r^2 + \left(\frac{(b+\Psi_0^2)}{\Pr^2} + \frac{-\frac{b \operatorname{Ra}(\Psi_0^2+1)\cos\alpha}{(b+\Psi_0^2)} + \Psi_0^2 + 1 + b}{\Pr} - 3\omega^2 \right) \lambda_r + \\ + \frac{3\Psi_0^2 - b \operatorname{Ra} \cos\alpha + b}{\Pr^2} - \left(\frac{(1+b)}{\Pr} + 1 \right) \omega^2 = 0, \end{aligned} \quad (34)$$

$$-\omega^3 + \left(\frac{(b+\Psi_0^2)}{\Pr^2} + \frac{-\frac{b \operatorname{Ra}(\Psi_0^2+1)\cos\alpha}{(b+\Psi_0^2)} + \Psi_0^2 + 1 + b}{\Pr} + 3\lambda_r^2 + 2 \left(\frac{(1+b)}{\Pr} + 1 \right) \lambda_r \right) \omega = 0. \quad (35)$$

Уравнение (35) однородно относительно частоты, из него вытекают два выражения для частоты. Первое заключается просто в равенстве частоты нулю

$$\omega = 0, \quad (36)$$

второе соответствует колебательным возмущениям и имеет вид

$$\omega^2 = \frac{(b+\Psi_0^2)}{\Pr^2} + \frac{-\frac{b \operatorname{Ra}(\Psi_0^2+1)\cos\alpha}{(b+\Psi_0^2)} + \Psi_0^2 + 1 + b}{\Pr} + 3\lambda_r^2 + 2 \left(\frac{(1+b)}{\Pr} + 1 \right) \lambda_r. \quad (37)$$

Для каждого стационарного состояния Ψ_0 уравнение (32) для комплексного декремента λ имеет три решения. Предположим, что среди этих трех решений есть колебательное $\lambda = \lambda_r + i\omega$, тогда из того, что частота ω входит в уравнение (34) во второй степени, следует, что среди решений уравнения (32) есть и решение с $\lambda = \lambda_r + i\omega$. Третье решение может быть только действительным. В случае, когда колебательных возмущений нет, все три решения уравнения (32) действительны.

АНАЛИЗ СПЕКТРОВ ВОЗМУЩЕНИЙ

Перепишем уравнение (34) в виде

$$\lambda^3 + F\lambda^2 + G\lambda + H = 0, \quad (38)$$

где

$$F = \frac{(1+b)}{\Pr} + 1, \quad G = \frac{(b+\Psi_0^2)}{\Pr^2} + \frac{-\frac{b \operatorname{Ra}(\Psi_0^2+1)\cos\alpha}{(b+\Psi_0^2)} + \Psi_0^2 + 1 + b}{\Pr},$$

$$H = \frac{3\Psi_0^2 - b \operatorname{Ra} \cos\alpha + b}{\operatorname{Pr}^2}.$$

Тогда выражение для инкремента, в случае отсутствия колебательных возмущений (т. е. когда квадрат частоты в выражении (37) отрицательный), может быть записано в следующем виде:

$$\lambda_r = \operatorname{Re} \left(D \exp \left(\frac{2\pi}{3}(n-1)i \right) \right) - \frac{1}{3}F, \quad (39)$$

где введено обозначение

$$D = \sqrt[3]{108 \left(\frac{1}{3}GF - H - \frac{2}{27}F^3 \right) + 12 \sqrt{12 \left(G - \frac{1}{3}F^2 \right)^3 + 81 \left(\frac{1}{3}GF - H - \frac{2}{27}F^3 \right)^2}},$$

а n принимает значения 1, 0, -1.

При наличии колебательных возмущений выражение для инкремента монотонных возмущений будет иметь вид

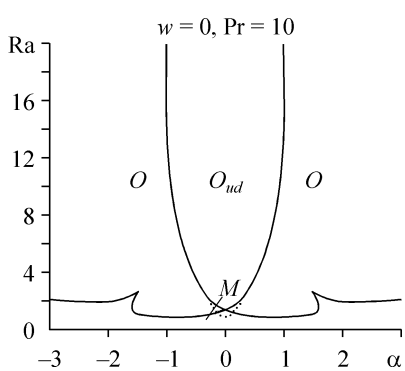
$$\lambda_r = \frac{1}{6}D - 2 \frac{G - \frac{1}{3}F^2}{D} - \frac{1}{3}F, \quad (40)$$

а инкремент колебательных возмущений —

$$\lambda_r = \frac{1}{6}C - 2 \frac{J - \frac{1}{3}F^2}{C} - \frac{1}{3}F, \quad (41)$$

где $C = \sqrt[3]{108 \left(\frac{1}{3}JF - I - \frac{2}{27}F^3 \right) + 12 \sqrt{12 \left(J - \frac{1}{3}F^2 \right)^3 + 81 \left(\frac{1}{3}JF - I - \frac{2}{27}F^3 \right)^2}}$, при этом $J = \frac{1}{4}(F^2 + G)$, $I = \frac{1}{8}(FG - H)$.

Положив в уравнениях (34) и (37) $\omega = 0$ и используя явные выражения для решения Ψ_0 (24), (25) и λ_r (41), получаем на плоскости $(\operatorname{Ra}, \alpha)$ линию, на которой частота колебательных возмущений обращается в ноль (рис. 4, 5). Следуя Лоренцу [3], полагаем $b = 8/3$ и $\operatorname{Pr} = 10$.



Прерывистая линия — это бифуркационная кривая. Вместе с нейтральными кривыми она делит область параметров на шесть частей:

- в части М существуют три отрицательных инкремента монотонных возмущений единственного стационарного состояния;

Rис. 4. Линия на плоскости параметров, на которой выполняется условие $\omega = 0$ для колебательных возмущений. $\operatorname{Pr} = 10$, $b = 8/3$.

Рис. 5. Фрагмент рисунка 4.

- в O — по одному отрицательному инкременту монотонных и колебательных возмущений единственного стационарного состояния;
- в M_{ud} — по три инкремента монотонных возмущений каждого из трех стационарных состояний;
- в M_u существуют по три инкремента монотонных возмущений для верхнего и среднего листов, для нижнего листа — по одному отрицательному инкременту монотонных и колебательных возмущений;
- в области M_d существуют по три инкремента монотонных возмущений для среднего и нижнего листов, для верхнего листа — по одному отрицательному инкременту монотонных и колебательных возмущений;
- в области O_{ud} существуют три инкремента монотонных возмущений среднего листа, для верхнего и нижнего листов — по одному отрицательному инкременту монотонных и колебательных возмущений.

Отметим, что для среднего листа один из инкрементов всегда положителен или, другими словами, средний лист монотонным образом неустойчив.

Положив в уравнениях (34), (35) $\lambda_r = 0$ и используя явные выражения для решения Ψ_0 (24), (25) и λ_r (41), получаем на плоскости (Ra, α) нейтральные кривые (рис. 6).

Нейтральные кривые делят область параметров на пять частей:

- в части S все три инкремента монотонных возмущений единственного стационарного состояния отрицательны;
- в S_{ud} инкременты возмущений верхнего и нижнего листов отрицательны;
- в части U_{ud} (и в U_d) один из инкрементов возмущений верхнего листа (нижнего) положителен, а инкременты возмущений нижнего листа (верхнего) отрицательны;
- в U инкременты колебательных возмущений верхнего и нижнего листов положительны, а инкременты монотонных — отрицательны.

Линия возникновения колебательных возмущений, представленная на рис. 4, имеет точки возврата в районе значения угла наклона, соответствующего подогреву сбоку.

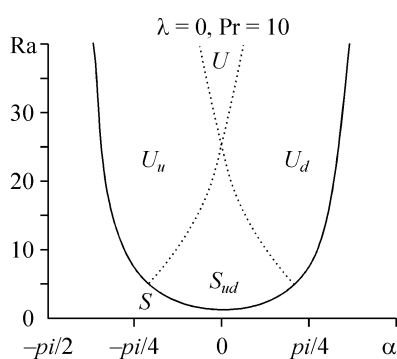


Рис. 6. Нейтральные кривые на плоскости параметров. Сплошная линия — монотонные возмущения, пунктирные — колебательные возмущения, соответствующие верхнему (нижнему) листу поверхности стационарных состояний. $Pr = 10$, $b = 8/3$.

ЗАКЛЮЧЕНИЕ

В настоящей работе аналитически исследована монотонная и колебательная устойчивость обобщенной модели Лоренца [1], моделирующей тепловую конвекцию в замкнутой полости при произвольных наклонах.

Определена граница возникновения колебательных возмущений на плоскости параметров (Ra, α). Она качественно согласуется с известными результатами для подогрева сверху и снизу и имеет точки возврата при углах наклона $\alpha \approx \pm \pi/2$, соответствующих горизонтальной полости, подогреваемой сбоку.

Построены нейтральные кривые устойчивости для монотонных и колебательных возмущений. Решение вне бифуркационной кривой устойчиво по отношению как к монотонным, так и к колебательным возмущениям. Внутренний лист поверхности стационарных состояний неустойчив по отношению к монотонным возмущениям. Колебательных возмущений для него не существует. Верхний и нижний листы при достаточно малых Ra устойчивы относительно колебательных возмущений, а при увеличении Ra устойчивость теряют. На границе с внутренним листом они имеют узкие области, в которых не существует колебательных возмущений. В этих областях верхний и нижний листы при достаточно малых Ra устойчивы относительно монотонных возмущений, а при больших Ra они теряют устойчивость.

СПИСОК ЛИТЕРАТУРЫ

1. Nikitin A., Sharifulin A. Concerning the bifurcations of steady-state thermal convection regimes in a closed cavity due to the Whitney folding-type singularity // Heat Transfer-Sov. Res. — 1989. — Vol. 21, No. 2. — 213 p.
2. Никитин А.И., Шарифуллин А.Н. О бифуркациях стационарных режимов тепловой конвекции в замкнутой полости порождаемых особенностью типа сборки Уитни // Процессы тепло- и массопереноса вязкой жидкости. — Свердловск: УНЦ АН СССР, 1986. — С. 32–39.
3. Lorenz E. Deterministic nonperiodic flow // J. of Atmospheric Sci. — 1963. — No. 20. — 130 p.
4. Чернатьинский В.И., Шлиомис М.И. Конвекция вблизи критических чисел Рэлея при почти вертикальном градиенте температуры // Изв. АН СССР. Мех. жидк. и газа. — 1973. — № I. — С. 64–70.
5. Mizushima J., Hara Y. Routes to unicellular convection in a tilted rectangular cavity // J. Physical Society of Japan. — 2000. — Vol. 69, No. 8. — P. 2371–2374.
6. Гершунин Г.З., Жуховицкий Е.М. Конвективная устойчивость несжимаемой жидкости. — М.: Наука, 1972. — 392 с.

Статья поступила в редакцию 14 мая 2007 г.